

## بررسی تأثیر فسفر بر ریزساختار و خواص مغناطیسی آلیاژهای پایه آهن\*

سحر جعفری<sup>(۱)</sup> علی بیت اللهی<sup>(۲)</sup> بیژن افتخاری یکتا<sup>(۳)</sup> تاداکاتسو اوکوبو<sup>(۴)</sup> راغاوان گوپلان<sup>(۵)</sup>  
بزرگی نیروی وادارندگی در نمونه‌ها کاهش می‌یابد. افزون بر این، با افزایش مقدار فسفر در آلیاژ، مقاومت ویژه افزایش یافت. بررسی‌های  
میکروسکوپی نشان دادند که تمامی نمونه‌ها عاری از رسوب‌های  $Fe_3P$  هستند و افزایش فسفر منجر به افزایش اندازه‌ی متوسط دانه و در نتیجه،  
کاهش اتلاف هیسترزیس در نمونه‌ها می‌شود. به این ترتیب، مشخص شد که آلیاژ  $P = 1\%at.$  دارای کمترین مقدار اتلاف هیسترزیس،  
اتلاف جریان‌های گردابی و همچنین، بیشترین مقدار القای اشباع مغناطیسی است.

**واژه‌های کلیدی** آلیاژهای Fe-P، آهن ریاضی القاء، نیروی وادارندگی، اتلاف هسته‌ای مغناطیسی، ریزساختار.

## The Effect of Phosphorous on Microstructure and Magnetic Properties of Fe Based Alloys

S. Jafari      A. Beitollahi      B. Eftekhar Yekta      T. Ohkubo  
R. Gopalan      G. Herzer      K. Hono

### Abstract

In the present work, the magnetic properties of Fe-P alloys were investigated. The investigations showed that the magnitude of coercivity decreased by conducting two annealing treatments on samples. Samples having the highest amount of Phosphorous exhibited the lowest resistivity. Microstructural studies revealed that the prepared samples were free from  $Fe_3P$  precipitate and the average grain size increased with an increase in the Phosphorous content giving rise to the decrease of hysteresis losses. Furthermore, amongst the whole prepared samples, Fe-1.1at.%P alloy showed the lowest hysteresis loss and eddy current loss as well as the highest magnetic induction.

**Key Word** Fe-P Alloys, Magnetic induction, Coercivity, Core loss, Microstructure.

\* نسخه‌ی نخست مقاله در تاریخ ۹۲/۱۰/۲۱ و نسخه‌ی پایانی آن در تاریخ ۹۳/۰۲/۸ به دفتر نشریه رسیده است.

(۱) نویسنده مسئول دانشجوی دکتری دانشکده مهندسی مواد و متالورژی، دانشگاه علم و صنعت ایران.

(۲) استاد دانشکده مهندسی مواد و متالورژی، دانشگاه علم و صنعت ایران.

(۳) دانشیار دانشکده مهندسی مواد و متالورژی، دانشگاه علم و صنعت ایران.

(۴) دانشیار واحد مواد مغناطیسی، مرکز تحقیقات ملی مواد ژاپن.

(۵) دانشیار واحد مواد مغناطیسی، مرکز تحقیقات ملی مواد ژاپن.

(۶) استادیار و کیو ماشمنز GmbH آلمان.

(۷) استاد واحد مواد مغناطیسی، مرکز تحقیقات ملی مواد ژاپن.

دسته از مواد نرم مغناطیسی بالاتر است. با این وجود، به علت دشواری‌های مربوط به تهیه‌ی هسته‌های مغناطیسی از آلیاژهای مغناطیسی چرخ نواری شده، این دسته از مواد مقرر به صرفه نیستند. به نظر می‌رسد که روش‌های ریخته‌گری و نورد هم‌چنان مناسب‌ترین روش‌های تولید هسته‌های مغناطیسی در ابعاد بزرگ هستند. آنستیو و هم‌کاران [9]، دریافتند که افزودن  $0.3\%$  تا  $0.4\%$  درصد وزنی فسفر به قطعات متالورژی پودر آهن-سیلیکون، سبب افزایش قابل توجه نفوذپذیری مغناطیسی و کاهش اتلاف هسته‌ای می‌شود. ولینسکی و کازمار [10]، در بررسی تأثیر میزان فسفر در قطعات متالورژی پودر دستگاه آلیاژی دو تایی آهن-فسفر، دریافتند که با افزایش میزان فسفر، آهن‌ربایش اشباع افزایش می‌یابد. آن‌ها هم‌چنین گزارش کردند که در مقادیر بالای فسفر، رسوب  $\text{Fe}_3\text{P}$  در مرز دانه‌ها موجب افزایش مقاومت الکتریکی می‌شود [11-13].

با وجود تحقیقات قبلی انجام شده، متأسفانه هنوز مطالعه‌ی ریزساختاری/مغناطیسی دقیقی بر روی اثر فسفر بر خواص مغناطیسی آلیاژهای نرم مغناطیس انجام نشده است. از این‌رو، در پژوهش حاضر، خواص نرم مغناطیسی و رابطه‌ی آن‌ها با ریزساختار در آلیاژهای  $\text{P}$  at.%  $\text{Fe}-0.7$  at.%  $\text{Fe}-1.1$  at.%  $\text{Fe}-1$  مطالعه و بررسی شده است.

### مواد روش‌های آزمایش

آلیاژهای  $\text{Fe-P}$ ، با استفاده از آهن با خلوص  $99.99\%$  و آلیاژ مادر  $\text{Fe}_3\text{P}$  با خلوص  $99.9\%$  و با ذوب القایی در کوره تحت خلا<sup>۱</sup> به میزان  $10^{-10}$  torr، تهیه شدند. پس از آن، ابتدا نمونه‌های ریخته‌گری شده در دمای  $900^{\circ}\text{C}$  نورد داغ و سپس نورد سرد شدند. در پایان نورد سرد و پس از ۲۶ مرحله نورد کلی، ورقه‌هایی با ضخامت  $0.3$  میلی‌متر تهیه شد. در مرحله‌ی بعدی، از ورقه‌های نورد شده و در جهت

### مقدمه

مواد نرم مغناطیس در کاربردهایی که القای مغناطیسی (B) بالا نیاز است، مانند الکترومغناطیس‌ها، موتورها و ترانسفورماتورها، استفاده‌ی زیادی می‌شوند [1,2]. از آنجا که ترانسفورماتورها با جریان‌های متناوب کار می‌کنند، هسته‌ی مغناطیسی در آن‌ها افزون بر القای اشباع مغناطیسی بالا، باید از اتلاف مغناطیسی کمی نیز برخوردار باشد [2]. فولادهای سیلیسیم‌دار به‌سبب برخورداری از آهن‌ربایش اشباع بالا در حدود ۲ تسل‌ا، بهمیزان گستردگی در هسته‌های مغناطیسی و تجهیزات مختلف استفاده قرار می‌گیرند [3]. با این وجود، با هدف کاهش مصرف انرژی، دست‌یابی به اتلاف مغناطیسی کمتر در این هسته‌ها هم‌چنان از چالش‌های موجود در این عرصه است. نشان داده شده است که افزایش سیلیسیم باعث بهبود اتلاف مغناطیسی می‌شود، ولی این بهبود رفتار مغناطیسی با افزایش تردی ورقه‌ای مغناطیسی همراه است [4]. در این خصوص، تأثیر افزوده شدن عناصر مختلف به آلیاژ مذکور بررسی و مطالعه شده است [4]. با این حال، تأثیر افروزنی فسفر بر آهن‌ربایش و اتلاف هسته‌ای تا بهحال به‌طور کامل بررسی نشده است.

اخیراً، آلیاژهای پایه آهن نانوساختار به علت برخورداری از اتلاف هسته‌ای پایین، توجه زیادی را به خود جلب کرده‌اند [5,6]. با این وجود، برای این دسته از مواد، القای اشباع مغناطیسی ( $B_s$ ) کمی و در حدود ۱/۵-۱/۷ تسل‌ا، گزارش شده است [5,6].

گوپالان و هم‌کاران [7]، مقدار  $B_s$  را بالاتر از ۱/۹ تسل‌ا و با نیروی وادارندگی نسبتاً کم در نوارهای چرخ نواری شده‌ی  $\text{Fe-P}$  به دست آورده‌اند. ماقینو و هم‌کاران [8]، هم مقدار  $B_s$  بالاتر از ۱/۹۴ تسل‌ا را برای آلیاژهای  $\text{Fe-Si-B-P-Cu}$  گزارش کرده‌اند. این مقدار آهن‌ربایش اشباع، بهمیزان قابل توجهی از مقادیر گزارش شده قابل برای این

میکروسکپ الکترونی عبوری (TEM) مدل Tecnai T20 با قدرت اشعه  $200 \text{ kV}$  انجام شد. برای تهیه نمونه‌های TEM، ابتدا قرص‌هایی به قطر  $3 \text{ میلی‌متر}$  از نمونه‌ی مورد نظر تهیه شد و سپس، با استفاده از دستگاه الکتروپولیش با ولتاژ  $50 \text{ V}$  و در دمای  $25^\circ\text{C}$  و با استفاده از محلول  $10\% \text{ HClO}_4$  و  $90\% \text{ CH}_3\text{OH}$  سوراخ بسیار کوچکی در مرکز قرص ایجاد شد.

### نتایج و بحث

جدول (۱)، نیروهای وادارندگی مربوط به نمونه‌های نورد شده و عملیات حرارتی شده را نشان می‌دهد. همان‌طور که در این جدول مشاهده می‌شود، نیروهای وادارندگی ( $H_c$ ) نمونه‌های نورد شده در مقایسه با نمونه‌های عملیات حرارتی شده بسیار بزرگ‌ترند که علت آن را می‌توان به افزایش نیروی وادارندگی در آهن یا فولاد با کار سرد نسبت داد [۱]. عیوبها و یا نابجایی‌ها در فلزات موجب افزایش انرژی تلف شده در فرایند آهن‌ربایش به‌شکل نوعی از انرژی اصطکاکی داخلی می‌شوند و به‌این ترتیب، سبب بوجود آمدن هیسترزیس و یا نیروی وادارندگی می‌شوند [۱]. از آنجا که در این پژوهش فرایند نورد برای تولید ورق‌های نازک به کار گرفته شد، در صدهای بالای تغییر شکل در نمونه باعث بوجود آمدن مقدار زیادی توده‌های نابجایی در نمونه‌ها شده است. افزون بر این، مقایسه‌ی نیروهای وادارندگی نمونه‌های نورد شده با نیروهای وادارندگی نمونه‌های عملیات حرارتی شده نشان‌دهنده‌ی کاهش بسیار چشم‌گیر نیروهای وادارندگی در نمونه‌های عملیات حرارتی در دو مرحله می‌باشد. در شکل (۱-الف)، تصویر میکروسکپ نوری از نمونه‌ی  $\text{Fe}-0.36 \text{ at.\%P}$  در حالت نورد شده نشان داده شده است که در آن، دانه‌ها در جهت نورد کشیده شده‌اند. شکل (۱-ب)، تصویر میدان روشن TEM مربوط به همین نمونه را نشان می‌دهد. در این تصویر، انبوهی از نابجایی‌ها مشاهده می‌شود.

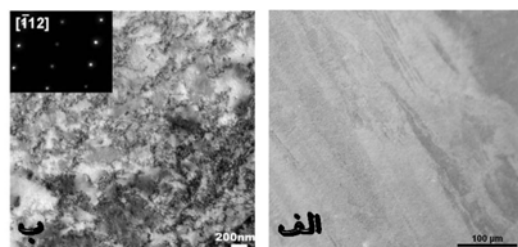
نورد، حلقه‌هایی به قطر خارجی  $26 \text{ mm}$  و قطر داخلی  $20 \text{ mm}$  می‌متر برای انجام آزمون‌های مغناطیسی تهیه شد. ابعاد حلقه‌های تهیه شده، بر اساس نمونه‌های مورد استفاده در موتور ماشین‌های هیبریدی و نمونه‌های صنعتی انتخاب شد. نمونه‌های حلقه‌ای، ابتدا در کوره‌ی مادون قرمز و در دماهای  $800^\circ\text{C}$ ،  $900^\circ\text{C}$  و  $1000^\circ\text{C}$  درجه‌ی سانتی‌گراد (تحت خلاء  $10^{-1} \text{ torr}$ ) به مدت زمان ۱ ساعت برای اولین مرحله عملیات حرارتی (عملیات حرارتی محلول جامد) شدند. سرد شدن نمونه‌ها توسط جریان گاز هلیم ( $300 \text{ cc/min}$ ) انجام شد. پس از آن برای از بین بردن تنفس‌های ناشی از سریع سرد شدن، نمونه‌ها به مدت زمان  $30 \text{ دقیقه}$  در دمای  $500^\circ\text{C}$  یا  $600^\circ\text{C}$  برای دومین مرحله عملیات حرارتی شدند و سپس در کوره آهسته سرد شدند. دماهای عملیات حرارتی مطابق با نمودار فازی آهن-فسفر به‌گونه‌ای انتخاب شدند که نمونه‌ها تک فاز باشند. نمونه‌های عملیات حرارتی شده در مرحله‌ی اول، به ترتیب با کد "مقدار فسفر + دمای عملیات حرارتی" و "نمونه‌های عملیات حرارتی شده در مرحله‌ی اول و دوم با کد "مقدار فسفر + دمای عملیات حرارتی" نشان داده شدند. به‌منظور مشخص کردن دمای عملیات حرارتی، کد  $8$  برای دمای  $800^\circ\text{C}$  کد  $9$  برای دمای  $900^\circ\text{C}$ ، کد  $10$  برای دمای  $1000^\circ\text{C}$ ، کد  $5$  برای دمای  $500^\circ\text{C}$  و کد  $6$  برای دمای  $600^\circ\text{C}$  انتخاب شد.

خواص مغناطیسی نمونه‌ها با استفاده از دستگاه اندازه‌گیری حلقه‌ی پس‌ماند مغناطیسی مدل Iwatsu B- $A/m$  با دقت  $10 \text{ A/m}$  با  $\text{H Analyzer SY8258}$  شد. اندازه‌گیری اتلاف هسته‌ای مغناطیسی در  $T/400 \text{ Hz}$  و با استفاده از وات‌متر انجام شد. مقاومت ویژه‌ی الکتریکی به‌کمک استاندارد پروف چهار اتصالی اندازه‌گیری شد. بررسی ریزساختار نمونه‌ها توسط میکروسکپ نوری مدل Nikon eclipse LV100 و

جدول ۱ نیروهای وادارندگی ( $H_c$ ) مربوط به نمونه‌های Fe-P

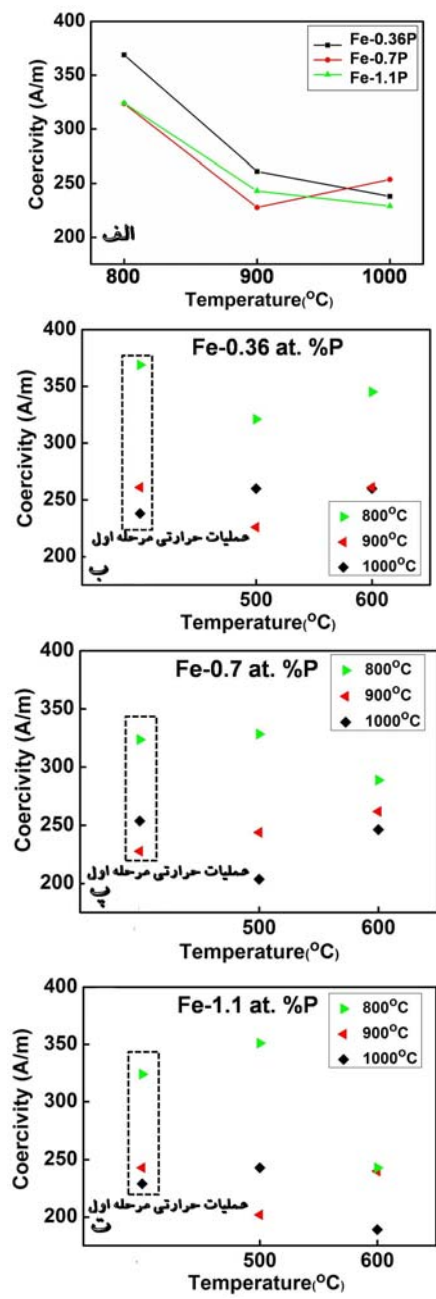
نمونه	شرایط عملیات حرارتی	ترکیب	نیروی وادارندگی (A/m)
As-rolled0.36	...	Fe-0.36 at.%P	905
F8-0.36	800°C/1h	Fe-0.36 at.%P	369
F9-0.36	900°C/1h	Fe-0.36 at.%P	261
F10-0.36	1000°C/1h	Fe-0.36 at.%P	238
FP86-0.36	800°C/1h + 600°C/0.5h	Fe-0.36 at.%P	345
FP96-0.36	900°C/1h + 600°C/0.5h	Fe-0.36 at.%P	261
FP106-0.36	1000°C/1h + 600°C/0.5h	Fe-0.36 at.%P	260
FP85-0.36	800°C/1h + 500°C/0.5h	Fe-0.36 at.%P	321
FP95-0.36	900°C/1h + 500°C/0.5h	Fe-0.36 at.%P	226
FP105-0.36	1000°C/1h + 500°C/0.5h	Fe-0.36 at.%P	260
As-rolled0.7	...	Fe-0.7 at.%P	798
F8-0.7	800°C/1h	Fe-0.7 at.%P	323
F9-0.7	900°C/1h	Fe-0.7 at.%P	228
F10-0.7	1000°C/1h	Fe-0.7 at.%P	254
FP86-0.7	800°C/1h + 600°C/0.5h	Fe-0.7 at.%P	289
FP96-0.7	900°C/1h + 600°C/0.5h	Fe-0.7 at.%P	262
FP106-0.7	1000°C/1h + 600°C/0.5h	Fe-0.7 at.%P	246
FP85-0.7	800°C/1h + 500°C/0.5h	Fe-0.7 at.%P	328
FP95-0.7	900°C/1h + 500°C/0.5h	Fe-0.7 at.%P	244
FP105-0.7	1000°C/1h + 500°C/0.5h	Fe-0.7 at.%P	246
As-rolled1.1	...	Fe-1.1 at.%P	662
F8-1.1	800°C/1h	Fe-1.1 at.%P	324
F9-1.1	900°C/1h	Fe-1.1 at.%P	243
F10-1.1	1000°C/1h	Fe-1.1 at.%P	229
FP86-1.1	800°C/1h + 600°C/0.5h	Fe-1.1 at.%P	243
FP96-1.1	900°C/1h + 600°C/0.5h	Fe-1.1 at.%P	240
FP106-1.1	1000°C/1h + 600°C/0.5h	Fe-1.1 at.%P	189
FP85-1.1	800°C/1h + 500°C/0.5h	Fe-1.1 at.%P	351
FP95-1.1	900°C/1h + 500°C/0.5h	Fe-1.1 at.%P	202
FP105-1.1	1000°C/1h + 500°C/0.5h	Fe-1.1 at.%P	243

شده‌اند. شکل (۲-الف)، وابستگی نیروی وادارندگی،  $H_c$ ، را به دمای عملیات حرارتی مرحله‌ی اول را نشان می‌دهد. همان‌طور که مشاهده می‌شود، افزایش دمای عملیات حرارتی مرحله‌ی اول کاهش نیروی وادارندگی در مقایسه با نمونه‌های نورد شده را به دنبال داشته است. همان‌طور که قبلاً توضیح داده شد، نمونه‌های نورد شده پر از توده‌های نابجایی هستند. اطراف هر نابجایی، میدان‌های تنش موضعی وجود دارند که منجر به توزیع ناهمگن کرنش در نمونه شده‌اند. نابجایی‌ها با پدیده‌ی مغناطیسیک موجب قفل شدن دیواره‌ی سامان مغناطیسی می‌شوند [1]. کاهش نیروی وادارندگی در نتیجه‌ی عملیات حرارتی در دماهای بالا، به از بین رفتگی‌های درونی و



شکل ۱ (الف) تصویر میکروسکوپ نوری از نمونه P-0.36 at.% در حالت نورد شده، (ب) تصویر میدان روش TEM از همین نمونه

نمودارهای نیروی وادارندگی بر حسب در دماهای مختلف عملیات حرارتی مراحل اول و دوم و برای هر سه آلیاژ Fe-0.36 at.%P و Fe-1.1 at.%P و Fe-0/Vat.%P در شکل ۲ نشان داده



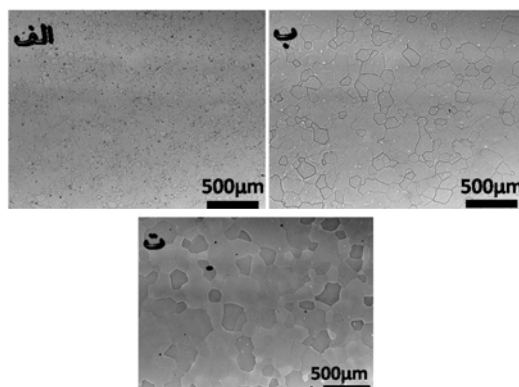
شکل ۲ (الف) واپستگی نیروی وادارندگی به دمای عملیات حرارتی در مرحله اول عملیات حرارتی برای آلیاژهای  $Fe-0.36at.\%P$ ،  $Fe-0.7at.\%P$ ،  $Fe-1.1at.\%P$  و  $Fe-0.36at.\%P$ . نیروی وادارندگی به صورت تابعی از دمای عملیات حرارتی مرحله دوم (برای آلیاژهای ب)  $Fe-0.36at.\%P$ ، (پ) آلیاژهای  $Fe-0.7at.\%P$ ، (ت) آلیاژهای  $Fe-1.1at.\%P$  و (ج) آلیاژهای  $Fe-0.36at.\%P$  برای آلیاژهای  $Fe-0.36at.\%P$ ،  $Fe-0.7at.\%P$ ،  $Fe-1.1at.\%P$  و  $Fe-0.36at.\%P$  نشان داده شده درون مستطیل های خطچین، نشان دهنده نیروهای وادارندگی نمونه های عملیات حرارتی شده در مرحله اول هستند.

حذف نابجایی ها که چگالی آنها در مرحله نورد افزایش یافته است، نسبت داده می شود. به طور کلی، افزایش دمای عملیات حرارتی برای یک مقدار ثابت فسفر در این مرحله، منجر به کاهش بیشتر نیروی وادارندگی شده است. از این رو، بیشترین کاهش نیروی وادارندگی در مرحله اول عملیات حرارتی در بالاترین دمای عملیات حرارتی (دماهای  $900^{\circ}C$  و  $1000^{\circ}C$ ) مشاهده شد.

همان طور که در جدول (۱) مشاهده می شود، نیروهای وادارندگی در نمونه های نورد شده  $as-0.36$  و  $as-rolled 1/1$  به ترتیب برابر با  $662 A/m$  و  $1/1$  اندازه گیری شده اند. بالاتر بودن نیروی وادارندگی  $as-0.36$  در مقایسه با نمونه  $as-1/1$   $rolled$ ، احتمالاً به دلیل کوچکتر بودن اندازه دانه های آلیاژ  $Fe-0.36at.\%P$  در مقایسه با آلیاژ  $Fe-1/1at.\%P$  می باشد. مقایسه داده های جدول (۱) مشخص می کند که عملیات حرارتی مرحله ای اول در دماهای بالاتر، منجر به کاهش بیشتر نیروی وادارندگی در نمونه های نورد شده می شود. بر اساس این نتایج، دو دمای  $900^{\circ}C$  و  $1000^{\circ}C$  به عنوان مناسب ترین دماهای برای انجام عملیات حرارتی مرحله ای اول در نمونه های  $Fe-P$  در نظر گرفته می شوند.

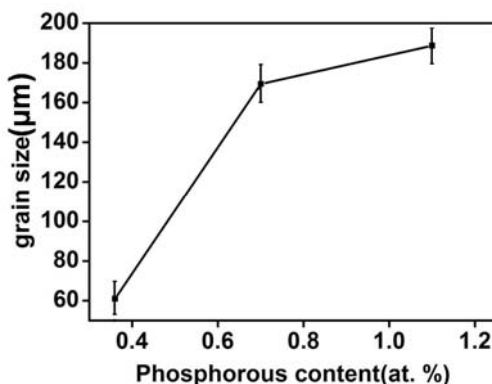
در شکل های (۲-ب) تا (۲-ت)، نقش دمای عملیات حرارتی مرحله دوم در میزان کاهش نیروی وادارندگی برای نمونه های  $Fe-P$  در حالت نورد شده که برای اولین مرحله عملیات حرارتی شده اند، نشان داده شده است. با توجه به شکل های (۲-ب) تا (۲-ت) و مقایسه نیروهای وادارندگی مربوط به نمونه هایی که در دو مرحله عملیات حرارتی شده اند با نیروهای وادارندگی نمونه های نورد شده، می توان به این نتیجه رسید که به طور کلی نمونه هایی که در دو مرحله عملیات حرارتی شده اند، کاهش قابل ملاحظه ای در نیروی وادارندگی از خود نشان داده اند.

مشاهده می‌شوند.



شکل ۴ تصویرهای میکروسکوپ نوری مربوط به نمونه‌های (الف) FP106-۰/۷، (ب) FP106-۰/۳۶ و (ت) FP106-۱/۱.

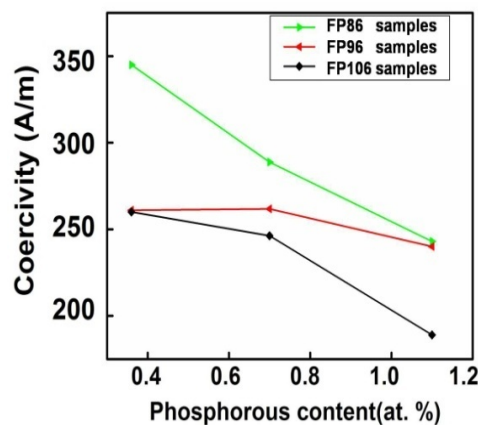
شکل (۵)، رابطه‌ی بین اندازه‌ی متوسط دانه‌ها و غلظت فسفر در نمونه‌های Fe-P را نشان می‌دهد. در این شکل، به خوبی مشخص است که اندازه‌ی متوسط دانه‌ها با افزایش میزان فسفر در آلیاژ افزایش می‌یابد (از ۶۰  $\mu\text{m}$  در آلیاژ ۰/۳۶ at. % P تا ۱۹۰  $\mu\text{m}$  در آلیاژ ۱/۱ at. % P).



شکل ۵ ارتباط بین اندازه‌ی دانه و غلظت فسفر در آلیاژهای Fe-P

در تحقیقات قبلی گزارش شده است که افزودن فسفر به فولادهای سیلیسیم‌دار موجب رسوب ترکیب‌های فسفیدی در مرز دانه‌ها، محدود شدن حرکت مرزهای دانه و در نتیجه، کاهش رشد دانه شده است [14]. پارک و هم‌کاران [14]، گزارش کرده‌اند که

شکل (۳)، تغییرات نیروی وادارندگی بر حسب مقدار فسفر برای نمونه‌های عملیات حرارتی شده در دماهای ۸۰۰ °C، ۹۰۰ °C و ۱۰۰۰ °C به مدت یک ساعت در مرحله‌ی اول عملیات حرارتی و دمای ۶۰۰ °C به مدت نیم ساعت در مرحله‌ی دوم عملیات حرارتی (نمونه‌های FP96 و FP106) را نشان می‌دهد. همان‌گونه که در این شکل دیده می‌شود، به‌ازای مقدار ثابت فسفر، افزایش دمای مرحله‌ی اول عملیات حرارتی منجر به کاهش نیروی وادارندگی در نمونه‌ها شده است.



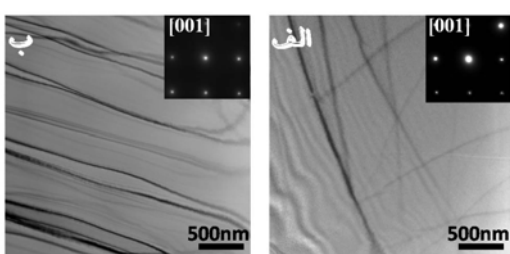
شکل ۳ ارتباط بین نیروی وادارندگی و مقدار فسفر در آلیاژهای Fe-۰/۷ at. % P، Fe-۰/۳۶ at. % P، Fe-۱/۱ at. % P، عملیات حرارتی شده در دماهای ۸۰۰ °C، ۹۰۰ °C و ۱۰۰۰ °C به مدت یک ساعت در مرحله‌ی اول عملیات حرارتی و دمای ۶۰۰ °C به مدت نیم ساعت در مرحله‌ی دوم عملیات حرارتی (نمونه‌های FP96 و FP106).

عوامل مختلفی مانند ریزساختار، مگنتواستریکشن و ناهمسانگردی مغناطیسی‌بلورین، منجر به تغییر نیروی وادارندگی می‌شوند [1].

در شکل ۴، تصویرهای ریزساختار به‌دست آمده از میکروسکوپ نوری مربوط به نمونه‌های FP106-۰/۷، FP106-۰/۳۶ و FP106-۱/۱ نشان داده شده‌اند. در هر سه تصویر، نمونه‌های کاملاً بلورین به‌خوبی

وادارندگی شد. بنابراین، انتظار می‌رود که با افزایش میزان فسفر، نیروی وادارندگی کاهش یابد. نتایج شکل (۲) این یافته‌ها را تأیید می‌کنند.

ناهمسان‌گردی تنشی به صورت تغییر ابعاد ماده‌ی فرومغناطیس در آهن‌ربایش تعریف می‌شود و عمدتاً به مقدار تنش‌های باقی‌مانده در نمونه مرتبط است. هر دو عامل ناهمسان‌گردی مغناطیسی و تنشی با نیروی وادارندگی  $H_c$  رابطه‌ی مستقیمی دارند و با زیاد شدن هر کدام، نیروی وادارندگی افزایش می‌یابند [2]. بنابراین، برای کاهش نیروی وادارندگی باید اولاً از میزان تنش‌های باقی‌مانده در مجموعه کاست تا به این ترتیب، از تأثیر ناهمسان‌گردی تنشی بر نیروی وادارندگی کم شود. با توجه به کاهش قابل ملاحظه‌ی نیروی وادارندگی با انجام هر دو مرحله‌ی عملیات حرارتی به‌منظور حذف قابل ملاحظه‌ی نابجایی‌ها در مجموعه که اثر خود را در کاهش نیروی وادارندگی نشان دادند، به‌نظر می‌رسد که انجام عملیات حرارتی در این مورد موفق بوده است. دوماً، برای کاهش تأثیر ناهمسان‌گردی مغناطیسی بر نیروی وادارندگی باید انرژی ناهمسان‌گردی در مجموعه تا حد ممکن کم شود. با این وجود، باید اذاعان کرد که وجود میدان‌های تنشی در نمونه‌ها و عدم اطلاع از نحوه توزیع این میدان‌ها و تأثیر عملیات حرارتی بر توزیع میدان‌های تنشی، تفسیر دقیق تغییرات نیروی وادارندگی با دمای عملیات حرارتی را با مشکلاتی همراه می‌کند.



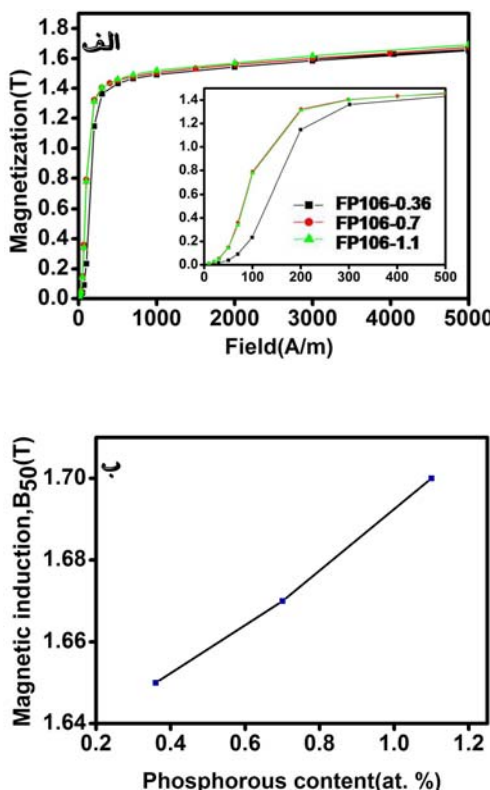
شکل ۶ تصویرهای میدان روشن به‌دست آمده از TEM مربوط به نمونه‌های: (الف) FP106-۰/۳۶، (ب) ۱/۱. الگوهای پراش پرتوی ایکس محورهای منطقه‌ای [۰۰۱]، در گوشه‌های تصویرها نشان داده شده‌اند.

سفر با حلایت کم، مستعد به جدایش مرزدانه‌ای است. به‌این دلیل، افزودن فسفر منجر به رسوب ترکیب‌های فسفیدی از جمله  $Fe_3P$  در مرزدانه‌ها می‌شود. رسوب‌های مرزدانه‌ای سبب کند شدن حرکت مرزدانه‌ها می‌شوند و از این طریق، مانع از رشد دانه‌ها می‌شوند. به‌این ترتیب، رسوب‌های مرزدانه‌ای موجب کاهش اندازه‌ی دانه می‌شوند. تصویرهای TEM از نمونه‌های FP106-۰/۳۶ و FP106-۱/۱ در شکل ۶ نشان داده شده‌اند. الگوهای پراش پرتوی ایکس از محور منطقه‌ای [۰۰۱] که در کنار شکل‌ها نشان داده شده‌است، با دارا نبودن نقاط اضافی که از حضور رسوب‌ها در زمینه ناشی شده‌اند، ثابت می‌کنند که فاز دوم به صورت جدایش فازی یا رسوب در نمونه‌ها وجود ندارد و نمونه‌ها تک‌فازی می‌باشند. به‌نظر می‌رسد که احتمالاً در تحقیق حاضر، زمان عملیات حرارتی (۱ ساعت در مرحله‌ی اول و ۳۰ دقیقه در مرحله‌ی دوم) برای رسوب‌گذاری ترکیب‌های فسفیدی و یا نفوذ فسفر به‌سمت مرزدانه و جدایش رسوب در مرزدانه کافی نبوده است. بنابراین، حضور فسفر در نمونه‌های مطالعه شده در این پژوهش نه تنها موجب کاهش اندازه‌ی دانه نشده است، بلکه با افزایش آن دانه‌ها رشد بیشتری یافته‌اند. همان‌گونه که در شکل (۵) نشان داده شد، افزایش فسفر موجب افزایش اندازه‌ی متوسط دانه‌ها شده است. افزون بر این، عدم جدایش یا رسوب فسفر در مرزدانه‌ها شده است و به‌این ترتیب، افزایش میزان فسفر منجر به رشد دانه‌ها هم شده است. این واقعیت در شکل‌های (۴) و (۵) به خوبی نمایان است. همان‌طور که پیش از این گفته شد، ریزساختار یکی از عوامل مؤثر بر بزرگی نیروی وادارندگی است. از طرف دیگر، مرزهای دانه یکی از اجزای مهم ریزساختاری و از عوامل قفل کننده‌ی دیواره‌ی سامان‌های مغناطیسی به‌شمار می‌آیند. افزایش کسر سطحی مرزدانه‌ها، سبب بالا رفتن نیروی وادارندگی می‌شود. افزایش اندازه‌ی دانه با افزودن فسفر، موجب کاهش عوامل قفل کننده‌ی مرز سامان‌های مغناطیسی و در نتیجه، کاهش نیروی

آهن رباش اشباع با افزایش مقدار فسفر را گزارش کرده‌اند. مایر [15]، هم گزارش کرده است که آهن رباش اشباع قطعات آهن خالص تهیه شده با متالورژی پودر می‌تواند با افزودن ۰/۸ درصد وزنی فسفر، از ۱/۶ به ۱/۸ تsla افزایش یابد. در تحقیقات متالورژی پودر، افزایش آهن رباش اشباع به افزایش چگالی قطعات متالورژی پودر و در نتیجه، به افزودن فسفر و وقوع تفجوشی در حالت مایع به وسیله‌ی فسفر نسبت داده شده است [10-15]. گفتنی است که تحقیقات بسیار کمی در زمینه‌ی تأثیر افزودنی فسفر بر خواص مغناطیسی ورق‌های فولادهای سیلیسیم‌دار غیرجهت‌دار انجام شده است [14,16,17].

تاناکا و هم‌کاران [16]، گزارش کرده‌اند که القای مغناطیسی با افزایش فسفر به فولادهای سیلیسیم‌دار افزایش می‌یابد. آن‌ها دلیل این افزایش را کاهش شدت بافت <۱۱۲> {۱۱۱} در نمونه‌ها بیان کرده‌اند. از آنجا که وجود این بافت خواص مغناطیسی از جمله آهن رباش القاء را تضعیف می‌کند، کاهش درصد حجمی آن علت اصلی افزایش آهن رباش القاء در نتیجه‌ی افزودن فسفر تعیین شده است. از سوی دیگر، پارک و هم‌کاران [14]، ادعا کرده‌اند که آهن رباش القایی با افزایش فسفر کاهش می‌یابد. آن‌ها هم‌چنین ادعا کرده‌اند که افزایش مقدار فسفر منجر به توسعه‌ی بافت {۲۲۲} با حذف بافت {۱۱۰} که برای آهن رباش آسان <۱۰۰> در آن قرار می‌گیرد، می‌شود. در پژوهشی که توسط پارک و همکاران انجام شده است، عملیات حرارتی پس از نورد داغ و قبل از نورد سرد انجام نشده است و همین موجب کاهش اندازه‌ی دانه‌ی اولیه شده است. به نظر می‌رسد که کاهش اندازه‌ی دانه‌ی اولیه منجر به ایجاد بافت {۲۲۲} شده است. [14]

ربع اول نمودارهای آهن رباش مربوط به نمونه‌های عملیات حرارتی شده در شرایط یکسان (نمونه‌های FP106-۰/۳۶، FP106-۰/۷، FP106-۱/۱) در شکل (۷-الف) نشان داده شده است. نمودارها در ۵۰ Hz/۱T اندازه‌گیری شده‌اند. شکل درون نمودارها محدوده‌ی میدان‌های کوچک را نشان می‌دهد. مقادیر آهن رباش استخراج شده از نمودارها در میدان‌های محدوده‌ی  $B_{\text{H}}$  (B<sub>H</sub>) و هم‌چنین، مقادیر  $\mu_{\text{max}}$ ، مقاومت ویژه و مقادیر اتلاف هسته‌ای (اتلاف های جریان‌های گردابی، هیسترزیس و مازاد)، در جدول (۲) ارائه شده‌اند. شکل (۷-ب)، تأثیر غاظت فسفر بر مقادیر  $B_{\text{H}}$  را نشان می‌دهد. همان‌طور که در این شکل و جدول (۲) مشاهده می‌شود، مقادیر  $B_{\text{H}}$  و  $B_{\text{H}}$  با افزایش مقدار فسفر در آلیاژ افزایش یافته‌اند. روند مشابهی در مورد  $\mu_{\text{max}}$  مشاهده شد، یعنی افزایش فسفر در ترکیب آلیاژ منجر به افزایش نفوذپذیری مغناطیسی بیشینه ( $\mu_{\text{max}}$ ) شد. همان‌طور که در جدول (۲) FP106-۰/۱ FP106-۰/۷ نمونه‌های افزایش قابل توجهی (حدود ۳۵ درصد) را در مقدار  $\mu_{\text{max}}$  نسبت به نمونه‌ی FP106-۰/۳۶ نشان می‌دهند. افزایش  $\mu_{\text{max}}$  می‌تواند با افزایش اندازه‌ی میانگین دانه در اثر افزایش مقدار فسفر توضیح داده شود (شکل ۵). تحقیقات قبلی در مورد اثر فسفر بر القای مغناطیسی نمونه‌های متالورژی پودر Fe-P و ورق‌های نورد شده‌ی آهن-سیلیسیم که شامل افزودنی فسفر بوده‌اند، انجام شده است [9,10,12-14]. ولینسکی و هم‌کاران [10]، نشان داده‌اند که آهن رباش اشباع در قطعات متالورژی پودر Fe-P با افزایش فسفر تا ۰/۸ درصد وزنی، از ۱/۶T به ۱/۷۷T افزایش می‌یابد. داس و هم‌کاران [12]، نیز گزارش کرده‌اند که کاهش آهن رباش اشباع آهن با افزایش هم‌زمان کروم و سیلیسیم، می‌تواند توسط افزودن فسفر جبران شود. افزون بر این، فریمن و هم‌کاران [13]، افزایش



شکل ۷ (الف) نمودارهای B-H مربوط به نمونه‌های FP106-۰/۳۶، FP106-۰/۷، FP106-۱/۱ اندازه‌گیری شده توسط هیسترزیس‌نگار BH در ۵۰Hz/۱T. (ب) تأثیر مقدار P بر  $B_{50}$  درونی محلوده‌ی میدان‌های کوچک را نشان می‌دهد.

جدول ۲ مقادیر  $B_2$ ,  $B_{50}$ ,  $\mu_{max}$ , مقاومت ویژه و مقادیر اتلاف هسته‌ای (اتلاف جریان‌های گردابی، اتلاف هیسترزیس و اتلاف مازاد) برای نمونه‌های FP106-۰/۳۶، FP106-۰/۷، FP106-۱/۱ و FP106-۰/۰/۷

نمونه	$B_2$ (T)	$B_{50}$ (T)	نفوذپذیری مغناطیسی ماکریسم ( $\mu_{max}$ )	ویژه مقاومت ( $\mu\Omega\text{cm}$ )	اتلاف جریان‌های گردابی (W/Kg)	اتلاف هیسترزیس (W/Kg)	اتلاف مازاد (W/Kg)	اتلاف هسته‌ای (W/Kg)
FP106-0.36	1.15	1.65	4571	15.41	19.06	11.35	2.57	33.52
FP106-0.7	1.32	1.67	6260	18.6	13.31	8.73	8.21	30.25
FP106-1.1	1.31	1.69	6164	24.2	9.42	5.97	10.97	26.36

اصلی ظرفیت مغناطیسی و پیوند-کوردینانسیون طبقه‌بندی می‌شوند. در مدل اول، از رفتار پائولینگ-اسلاتر آلیاژ بهمنظرور پیش‌بینی و توضیح رفتار مغناطیسی آلیاژ استفاده می‌شود. در این ارتباط، ملازموف و همکاران [18]، و ویلیامز و همکاران [19]، نظریه‌ی باند گپ را بر اساس وجود باندهای گپ در چگالی حالت‌های تراز اسپین‌های با جهت بالا و بر اساس مدل ظرفیت مغناطیسی ارائه داده‌اند. بر اساس این نظریه، پیش‌بینی شد که گشتاور مغناطیسی در

در ورق‌های نورد شده‌ی آهن-فسفر که در این تحقیق مطالعه شده‌اند، بزرگی آهن‌ربایش می‌تواند به دو عامل گشتاور مغناطیسی فاز فرومغناطیس آهن آلفا و اثر فسفر بر آن و هم‌چنین، بافت نمونه‌ها مرتبط باشد.

در بررسی رفتار مغناطیسی آلیاژ‌های Fe-P، از مدل‌های مغناطیسی که برای بررسی رفتار مغناطیسی دستگاه‌های آهن-شبه فلز به‌کار می‌روند، استفاده می‌شود. مدل‌های مغناطیسی در این رابطه، به دو مدل

با این وجود، حضور ناخالصی‌ها در ترکیب آلیاژ باعث پایین آوردن بیشتر انرژی سطحی صفحه‌های  $\{110\}$  نسبت به صفحه‌های  $\{110\}$  می‌شود.

گزارش شده است که وجود فسفر در شبکه‌ی آهن BCC، موجب تغییر ترتیب انرژی سطحی صفحه‌های  $\{110\}$  و  $\{110\}$  می‌شود. سازوکار دقیق تغییر ناهمسان‌گردی انرژی سطحی توسط فسفر و یا جدایش آن، هنوز ناشناخته مانده است. اما، به‌نظر می‌رسد که ورود فسفر به شبکه‌ی بلوری آهن و جدایش آن در سطح، موجب بر هم خوردن نظم و ترتیب در انرژی صفحه‌ها و تغییر انرژی صفحه‌های  $\{110\}$  و  $\{110\}$  می‌شود. در این ارتباط، شبیه‌سازی مونت‌کارلو در مقیاس اتمی توسط کو و هم‌کاران انجام شده است [24]. نتایج این محاسبات نشان می‌دهد که حتی در مقادیر کم فسفر در زمینه‌ی آهن (۱۰/۱ درصد اتمی)، مقدار قابل توجهی از فسفر در لایه‌های سطحی جمع می‌شود. غنی‌سازی لایه‌های سطحی از فسفر موجب کاهش انرژی سطحی می‌شود. لازم به ذکر است که در این حالت، کاهش انرژی سطحی برای سطح (۱۰۰) به بیشترین مقدار خود می‌رسد. از آنجا که صفحه‌ی (۱۱۰) متراکم‌ترین صفحه در بلورهای BCC است، منطقی به‌نظر می‌رسد که سطح (۱۰۰) حضور اتم‌های بیگانه مانند فسفر را به‌راحتی صفحه‌های دیگر ((۱۰۰) و (۱۱۱)) پذیرا نباشد. بنابراین، حضور فسفر در ساختار موجب کاهش انرژی صفحه‌ی (۱۰۰) می‌شود و از این طریق، ایجاد بافت  $\{100\}$  را آسان‌تر می‌کند. تجمع و جدایش فسفر در سطح، این اثر را شدت می‌بخشد [24].

شکل (۸)، تغییرات سه نوع اتلاف هسته‌ای مغناطیسی یعنی اتلاف جریان‌های گردابی، اتلاف هیسترزیس و اتلاف مازاد را بر حسب مقدار فسفر برای نمونه‌های FP106-0.36، FP106-0.7 و FP106-1.1 نشان می‌دهد. همان‌گونه که در این شکل مشاهده می‌شود، اتلاف جریان‌های گردابی و اتلاف هیسترزیس

آلیاژسازی فلز آهن با شبه فلز فسفر کاهش می‌یابد. افزون بر این که این کاهش به‌نهایی به‌وسیله‌ی ظرفیت اتم محلول قابل تعیین است. در مدل پیوند-کوردینانسیون، بر نظم و ترتیب موضعی اتمی به‌خصوص بر کوردینانسیون اتم‌های شبه‌فلز مربوط می‌شود. بر شیمیایی بین اتم‌های فلز و شبه‌فلز مربوط می‌شود. بر اساس این مدل نیز در آلیاژسازی فلز آهن با شبه‌فلز فسفر، با تمرکز بر آرایش محلی اتم‌ها به‌خصوص کوردینانسیون اتم‌های شبه‌فلز، کاهش گشتاور مغناطیسی در آلیاژسازی فلز آهن با شبه‌فلز فسفر به اثر پیوندهای شیمیایی ارتباط داده می‌شود [20-22]. بنابراین، در هر دو مدل پیش‌بینی می‌شود که با افزودن فسفر به آهن، گشتاور مغناطیسی کاهش می‌یابد. با این وجود، در رابطه با اثر فسفر بر آهن‌ربایش، تأثیر ریزساختار، به‌خصوص بافت، نایید نادیده گرفته شود. آهن‌ربایش القایی نیز مانند دیگر خواص مغناطیسی به جهت بلورشناسی وابسته است [2,23]. بنابراین، برای بهبود این خاصیت، لازم است تا بافت بلورشناسی دقیقاً کنترل شود. در آلیاژهای نرم مغناطیسی پایه آهن، به‌علت اثر غالب انرژی مغناطیبلورین، آهن‌ربایش در دانه‌ها و در مقیاس سامانه‌ای مغناطیسی در جهت  $\langle 111 \rangle$  بیشینه و در جهت  $\langle 100 \rangle$  کمینه است [2,23]. بنابراین، بافت مکعبی  $\{100\}$  با دارابودن دو جهت آسان آهن‌ربایش، بیشترین آهن‌ربایش القایی را موجب می‌شود [24].

در موادی با ساختار FCC، این بافت به‌راحتی ایجاد می‌شود، ولی این کار در شبکه‌های BCC به‌راحتی امکان‌پذیر نیست. یک راه کار برای ایجاد بافت  $\{100\}$  استفاده از تبلور تبلور سوم در ورقه‌ای نازک آهنی می‌باشد. با این وجود، از آنجا که در موادی با شبکه‌ی BCC صفحه‌ی (۱۰۰) (نہ (۱۰۰)) دارای کم‌ترین انرژی سطحی است، انجام این راه کار ساده نیست. در این مواد، صفحه‌ها از بیشترین انرژی سطحی به کم ترین، به‌ترتیب  $\langle 111 \rangle$  ( $\langle 100 \rangle$ ) ( $\langle 100 \rangle$ ) می‌باشند [24].

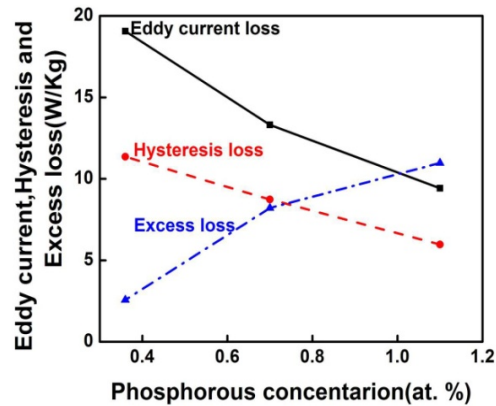
حرکت سامانهای مغناطیسی عمل کنند، هر چه اندازه‌ی دانه بزرگ‌تر باشد، اتلاف هیسترزیس نیز کم‌تر خواهد بود. بنابراین، همان‌طور که در شکل (۸) مشاهده می‌شود، با افزایش مقدار فسفر، اتلاف هیسترزیس در نمونه‌های مطالعه شده کاهش یافته است.

اتلاف مغناطیسی اندازه‌گیری شده همیشه از مجموع اتلاف جریان‌های گردابی و اتلاف هیسترزیس بیش‌تر است. این مقدار اضافه، اتلاف مازاد خوانده می‌شود که از سازوکارهای اتلاف که طی حرکت دیوارهای سامان مغناطیسی رخ می‌دهند، ناشی می‌شود [۲۵]، و تحت تأثیر عوامل ریزساختاری مانند بافت و اندازه‌ی دانه می‌باشد [۲۶]. بنابراین، بزرگ‌شدن اندازه‌ی دانه‌ها با افزایش فسفر در نمونه‌ها موجب افزایش اتلاف مازاد شده است. این رخداد به‌وضوح در شکل (۸) مشاهده می‌شود.

### نتیجه‌گیری

در تحقیق حاضر، اثر فسفر بر خواص مغناطیسی و ریزساختار ورق‌های نورد شده با ترکیب  $Fe_{1-x}P_x$  ( $x = 0.36, 0.7, 1.1$  at. %) به‌دست آمده نشان دادند که افزایش غلظت فسفر در آلیاژ از  $0/۳۶$  به  $۱/۱$  درصد اتمی، از  $۰/۶۵$  به  $۱/۷$  تسلسل آهن‌ربایش القایی،  $B_0$  از  $۴۶۰۰$  به  $۶۲۰۰$  شد. افزون نفوذپذیری بیشینه،  $H_{max}$  از  $۱۹$  به  $۱۶$  کاهش می‌باید. کاهش اتلاف جریان‌های گردابی از  $۹.۴$  به  $۲.۵$  در نتیجه‌ی افزایش غلظت فسفر در آلیاژ، ارتباط داده شد. هم‌چنین، در نتیجه‌ی افزایش غلظت فسفر در آلیاژ از  $۰/۳۶$  به  $۱/۱$  درصد اتمی، اندازه‌ی میانگین دانه‌ها سه برابر شد و در نتیجه‌ی رشد دانه‌ها، اتلاف هیسترزیس تقریباً  $۸۸$  درصد کاهش یافت.

با افزایش مقدار فسفر کاهش و اتلاف مازاد با افزایش مقدار فسفر افزایش یافته است.



شکل ۸ تغییرات سه نوع اتلاف هسته‌ای مغناطیسی بر حسب مقدار فسفر

نتایج شکل (۸) و جدول (۲) نشان می‌دهند که اتلاف ناشی از جریان‌های گردابی با افزایش فسفر از  $۰/۳۶$  تا  $۱/۱$  درصد اتمی، حدود  $۵۰$  درصد کاهش می‌یابد. اتلاف جریان‌های گردابی مستقیماً به مقاومت ویژه‌ی الکتریکی وابسته است. همان‌گونه که در جدول (۲) مشاهده می‌شود، با افزایش مقدار فسفر از  $۰/۳۶$  تا  $۱/۱$  درصد اتمی، مقاومت ویژه از  $۱۵ \mu\Omega cm$  به  $۲۵ \mu\Omega cm$  افزایش یافته است. مقاومت ویژه‌ی به‌دست آمده با رابطه‌ی پیشنهادی توسط هو و همکاران که یک رابطه‌ی خطی بین با میزان فسفر ارائه می‌کند، سازگار است [۱۷]. نوع دیگر اتلاف هسته‌ای، اتلاف هیسترزیس است که به وجود عوامل ممانعت کننده برای حرکت دیوارهای سامان مغناطیسی بستگی دارد و به‌این دلیل، عمدهاً به نحوی توزیع ناخالصی‌ها، اندازه‌ی دانه و تنش‌های درونی مربوط است. همان‌گونه که در بخش‌های پیشین توضیح داده شد، عدم حضور رسوب‌های فسفیدی و یا جدایش فسفر در امتداد مرز دانه‌ها منجر به رشد دانه در اثر افزودن مقدار فسفر در نمونه‌ها شد (شکل های (۴) و (۵)). از آنجا که مرزهای دانه می‌توانند به عنوان مانع در برابر

## مراجع

1. R.C. O'Handley, Modern Magnetic Materials: Principles and Applications, John Wiley & Sons, (1999).
2. D. Jiles, Introduction to magnetism and magnetic materials, CRC Press, Boca Raton, FL, (1998).
3. F.N. Bradley, Materials for magnetic functions, Hyden book company, INC., New York, (1971).
4. R.M. Bozorth, Ferromagnetism, IEEE Press, New York, (1993).
5. Y. Yoshizawa, S. Oguma, K. Yamauchi, New Fe-based soft magnetic alloys composed of ultrafine grain structure, *J. Appl. Phys.*, 64 6044-6046, (1988).
6. Y. Ogawa, M. Naoe, Y. Yoshizawa, R. Hasegawa, Magnetic properties of high Fe-based amorphous material, *J. Magn. Magn. Mater.*, 304, e675-e677, (2006).
7. R. Gopalan, Y.M. Chen, T. Ohkubo, K. Hono, High saturation magnetization and microstructure in melt-spun Fe-P ribbons, *Scr.Mater.*, 61, 544-547, (2009).
8. Akihiro Makino, He Men, Takeshi Kubota, Kunio Yubuta, A. Inoue, FeSiBPCu Nanocrystalline Soft Magnetic Alloys with High Bs of 1.9 Tesla Produced by Crystallizing Hetero-Amorphous Phase, *Mater. Trans.*, 50, 204- 209, (2009).
9. L. Anestiev, M. De Wulf, L. Froyen, L. Dupre, J. Melkebeek, Preparation of soft magnetic alloys Fe<sub>100-x-y</sub>Si<sub>x</sub>Py (0<x<9 , 0<y<0.6 wt%), using solid phase diffusion-sintering method, *J. Magn. Magn. Mater.*, 281, 124-134, (2004).
10. B. Weglinski, J. Kaczmar, Effect of Fe 3P addition on magnetic properties of sintered Iron, *Powder Metall.*, 23, 210-216, (1980).
11. M.-S. Chuang, S.-T.L. , Effects of phosphorous addition on the magnetic properties of sintered Fe-50wt. % Ni alloys, *J. Mater. Eng. Perform.*, 12, 23-28, (2003).
12. J. Das, K. Chandra, P.S. Misra, B. Sarma, Novel powder metallurgy technique for development of Fe-P-based soft magnetic materials, *J. Magn. Magn. Mater.*, 320, 906-915, (2008).
13. L. I. Frayman, D. R. Ryan, J.B. Ryan, Modified P/M soft magnetic materials for automotive applications, *Int. J. Powder Metall.*, 34, 31-39, (1998).
14. J.T. Park, J.S. Woo, S.K. Chang, Effect of phosphorus on the magnetic properties of non-oriented electrical steel containing 0.8wt% silicon, *J. Magn. Magn. Mater.*, 182, 381-388, (1998).
15. K.H.Moyer, Magnetic Materials and Properties for Powder Metallurgy Part Applications, in: ASM Handbook, vol 7, ASM International, pp. 1006-1020, (1998).
16. I. Tanaka, H. Yashiki, Magnetic properties and recrystallization texture of phosphorus-added non-oriented electrical steel sheets, *J. Magn. Magn. Mater.*, 304, e611-e613, (2006).
17. C.K. Hou, C.T. Hu, S. Lee, The effect of phosphorus on the core loss of lamination steels, *J. Magn. Magn. Mater.*, 109, 7-12, (1992).
18. A.P. Malozemoff, A.R. Williams, V.L. Moruzzi, "Band-gap theory" of strong ferromagnetism: Application to concentrated crystalline and amorphous Fe- and Co-metalloid alloys, *Phys. Rev. B*, 29,

- 1620-1632, (1984).
19. A.R. Williams, V.L. Moruzzi, A.P. Malozemoff, K. Terakura, Generalized Slater-Pauling curve for transition-metal magnets, *Magnetics, IEEE Transactions on*, 19, 1983-1988, (1983).
  20. B.W. Corb, Magnetic moments and coordination symmetry in bcc Fe-M alloys, *Phys. Rev. B*, 31 (1985) 2521-2523.
  21. B.W. Corb, R.C. O'Handley, N.J. Grant, Chemical bonding and local symmetry in cobalt- and iron-metalloid alloys, *J. Appl. Phys.*, 53 (1982) 7728-7730.
  22. B.W. Corb, R.C. O'Handley, N.J. Grant, Chemical bonding, magnetic moments, and local symmetry in transition-metal—metalloid alloys, *Phys. Rev. B*, 27 (1983) 636-641.
  23. B. D. Culyt , C.D. Graham, Introduction to Magnetic Materials, Second ed., *IEEE Press and John Wiley*, New Jersey, 2009.
  24. W. S. Ko, J. Y. Park, J.-Y. Byun, J. K. Lee, N. J. Kim, B. J. Lee, Manipulation of surface energy anisotropy in iron using surface segregation of phosphorus: An atomistic simulation, *Scr.Mater.*, 68 (2013) 329-332.
  25. W. Pieper, J. Gerster, Total power loss density in a soft magnetic 49% Co--49% Fe--2% V-alloy, *J. Appl. Phys.*, 109 (2011) 07A312-313.
  26. Seil Lee, B.C.D. Cooman, Effect of Phosphorus on the Magnetic Losses of Non-oriented 2% Si Steel, *ISIJ Int.*, 52 (2012) 1162-1170.
-

